2014

Aug.

文章编号: 1001-3555(2014)04-0367-09

石墨烯-溴氧化铋复合物的制备及可见光光催化性能研究

周 薇, 胡晓龙, 赵小蓉, 贾漫珂, 黄应平, 方艳芬*

- (1. 三峡地区地质灾害与生态环境湖北省协同创新中心(三峡大学),湖北 宜昌 443002;
 - 2. 三峡库区生态环境教育部工程研究中心(三峡大学), 湖北 宜昌 443002)

摘要:采用超声-水热法在溴氧化铋(BiOBr)上负载不同含量氧化石墨来制备石墨烯-溴氧化铋(Gre-BiOBr)复合物,利用 X-射线衍射(XRD)、扫描电镜(SEM)、透射电镜(TEM)、紫外可见漫反射(UV-Vis DRS)、荧光分光光度计(PL)、比表面积仪(BET)及红外光谱仪(FT-IR)对不同负载量的 Gre-BiOBr 进行初步表征. 发现 BiOBr 负载石墨烯前后均为斜四方晶型(JCPDS: 78-0348),均为大小500~1 000 nm 片层状. 在可见光照射下($\lambda \geq$ 420 nm),以罗丹明 B(Rhodamine B, RhB)和水杨酸(Salicylicacid, SA)作为降解底物,发现经过负载石墨烯后 BiOBr 的可见光活性有明显提高,且当负载质量比为 10%时,Gre-BiOBr 复合物表现出最好的可见光活性,此时光降解 RhB 反应速率($k_{10\% Gre-BiOBr}=0.046 \text{ min}^{-1}$)约为单纯 BiOBr($k_{BiOBr}=0.02 \text{ min}^{-1}$)的两倍. 经测定 10% Gre-BiOBr 复合物的比表面积为 $10.50 \text{ m}^2/\text{g}$,禁带宽度为 2.61 eV,能吸收 $\lambda \geq$ 475 nm 可见光. 结合自由基捕获实验,发现该催化体系主要涉及超氧自由基(O_2 一)和空穴(h^+)的共同氧化作用. 10% Gre-BiOBr 催化剂循环使用 5 次,仍保持着良好光催化活性,表明该催化剂稳定性较好.

关键词: 石墨烯-溴氧化铋; 负载; 可见光中图分类号: 0643.32 文献标志码: A

随着全球污染及能源短缺问题,寻找以太阳光作为直接能源的环境处理技术已成为当今的研究热点^[1],BiOBr 作为新型的可见光半导体催化剂,在有机污染物如染料^[2]、氯代有机小分子^[3]、微囊藻毒素^[4-5]等都具有良好的光催化降解效果,但前期研究表明尽管 BiOBr 能直接被可见光激发,但其对可见光的利用率要明显低于 TiO_2/UV 体系,这是由于由两个独立的 Br_{4P} 和 O_{2P} 轨道组成的 BiOBr 价带中 O_{2P} 轨道的贡献少^[6]. 因 D_{2P} 制道组成的 D_{2P} 制道的贡献少 D_{2P} 制道组成的 D_{2P} 制道的贡献很难改变,那么是否能通过改变其表面特性来提高 D_{2P} 对可见光的利用率,是学者们面临的难题.

石墨烯(graphene)是一种由碳原子紧密堆积而成的具有蜂窝状结构的二维材料 $^{[7]}$,具有突出的导热性能、力学性能 $^{[8]}$ 以及室温下高速的电子迁移率(15 000 cm 2 · ($\mathbf{V} \cdot \mathbf{s}$) $^{-1}$) $^{[9]}$. 石墨烯特殊的结构使其具有比碳纳米管更为优异的电学性质,以及良好的导电性和化学稳定性 $^{[7,10]}$. 目前,已有文献报道石墨烯与 $\mathbf{TiO_2}^{[11]}$ 、 $\mathbf{ZnO}^{[12]}$ 、 $\mathbf{C_3N_4}^{[13]}$ 、 $\mathbf{Bi_2WO_6}$ 等 $^{[14]}$

负载来提高其对光的利用率,从而提高光催化的活性. 因此,我们尝试着在溴氧化铋(BiOBr)上负载不同含量氧化石墨来制备石墨烯-溴氧化铋(Gre-BiOBr)复合物,以此复合物为光催化剂,在可见光照射下(λ≥420 nm),以罗丹明 B(Rhodamine B,RhB)和水杨酸(Salicylicacid,SA)作为降解底物,研究不同石墨烯负载质量的 Gre-BiOBr 复合物可见光活性,优化负载复合物的光催化活性. 结合自由基捕获实验,研究光催化体系的氧化机理.

1 材料与方法

1.1 主要试剂及仪器

试剂如下: 5.0×10⁻⁴ mol·L⁻¹ RhB 水溶液; Bi(NO₃)₃·5H₂O(AR); 溴代十六烷基吡啶(CPB, AR); 异丙醇(AR); 苯醌(AR); EDTA(AR); 浓硝酸(AR); 3×10⁻³ mol·L⁻¹ SA 水溶液.

仪器: D/max2500 型射线衍射仪(Rigaku, 日本); XL30 扫描电子显微镜(Philips, 荷兰); UV-

收稿日期: 2014-03-31; 修回日期: 2014-07-05.

基金项目: 国家自然科学基金(21377067,21207079,21177072);湖北省新世纪人才入选人员优先资助项目(201203);中国科学院生态环境研究中心开放基金(KF2011-07).

作者简介: 周 薇(1990-), 女, 硕士生. E-mail: chem_ctgu@126.com.

^{*} 通讯联系人, E-mail: fangyf@ ctgu. edu. cn.

3010 型紫外可见分光光度计(Hitach, 日本); BET (实验室的); NEXUS 型 FTIR 傅立叶红外光谱仪 (Thermo Electron, 美国); Lambda25 紫外可见分光光度计(PE, 美国); F-4500 荧光分光光度计(Hitach, 日本); Delta 320 pH 计(Mettler-Toledo, 上海有限公司); XPA 系列光反应器(南京胥江机电厂); 均相反应器(烟台松岭化工设备有限公司).

1.2 催化剂的制备

BiOBr 的制备: 按实验室的国家发明专利方法制备^[15].

制备氧化石墨(GO): 将装有 70 mL 浓硫酸的 500 mL 烧杯置于 0 $^{\circ}$ 的水浴中,在搅拌状态下缓慢加入 3 g 天然鳞片石墨,再缓慢加入 1.5 g 硝酸钠与 9 g 高锰酸钾的混合物,0 $^{\circ}$ 条件下搅拌 2 h 使反应完全后,在 30 $^{\circ}$ 恒温水浴中搅拌保温 30 min,缓慢加入 140 mL 水并使温度上升至 98 $^{\circ}$,在此温度条件下维持 15 min;用温水稀释到 420 mL,倒入 30 mL 质量分数为 30%的 $^{\circ}$ 的 $^{\circ}$ 6 HCl 充分洗涤滤饼,真空干燥 24 h,密封保存待用 $^{[16]}$.

制备 Gre-BiOBr 复合物:在水和乙醇体积比为 2:1 的混合溶液中加入上述制得的氧化石墨和溴氧化铋(0%、2%、6%、10%、14%),超声混合 60 min 使其均匀分散后,将所得液转移到聚四氟乙烯反应釜中,在高压、120 $^{\circ}$ C的条件下加热 6 h,冷却过滤,于 60 $^{\circ}$ 干燥箱中干燥 10 h,由此得到复合物.

1.3 催化剂表征

采用 XRD 对产物进行结构分析;采用 SEM、TEM 观察催化剂的形貌;采用 UV-Vis DRS 测定催化剂的吸收光谱;采用 PL 考察催化剂电子空穴复合程度;采用 BET 测定催化剂的比表面积;采用 360 FT 红外光分光光度计测定催化剂的红外光谱.

1.4 实验过程和分析方法

可见光装置:光反应装置采用 500 W 碘钨灯, 碘钨灯被安置在一个圆柱型双层硬质玻璃冷凝套中,冷凝套通过冷凝水冷却,套外用滤光片滤去波长小于 420 nm 的光,从而保证反应在可见光激发条件下进行(光反应装置剖面图如图 1 所示),光反应管以光源为中心环绕一圈,以保证光照强度一定,光反应器可同时搅拌和旋转.过程:在 70 mL 光反应管中依次加入 1 mL RhB, 10 mg Gre-BiOBr,定容至 30 mL,置于暗室搅拌 30 min 以达到吸附-

解吸平衡,然后进行光反应,每隔 30 min 取样一次,离心分离后,用紫外可见分光光度计在 RhB 最大吸收波长 554 nm 处测量其吸光度值.

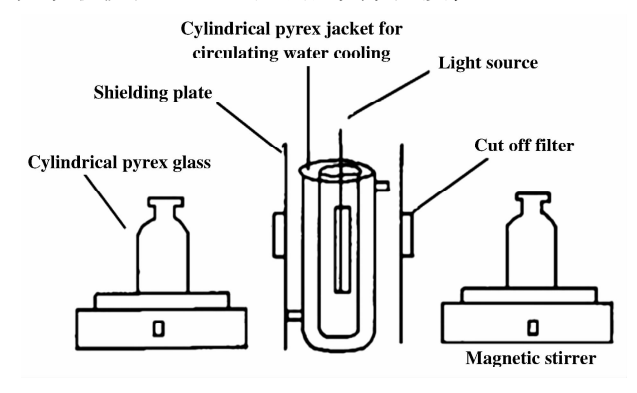


图 1 光催化反应装置图 Fig. 1 The setup of photoreaction

IR 测定:分别在降解 0 h、2 h、12 h 和 24 h 的反应混合液(已经离心去除催化剂)中加入少量固体溴化钾,在旋转蒸发仪上蒸发至干(温度 50 ~60 °C),用红外灯干燥,压片,在 360 FT 红外光分光光度计上进行 IR 光谱测定.

2 结果与讨论

2.1 XRD 晶相及晶粒尺寸分析

从图 2 可以看出,不同负载量的催化剂都出现了相似的衍射峰,由于石墨烯在 2θ = 25. 41°时有衍射峰,与 BiOBr 的(101)面的衍射峰重合,所以在负载化合物的 XRD 图中,看不到明显的石墨烯衍射峰^[17].通过使用 Jade 5.0 材料软件,均与 BiOBr

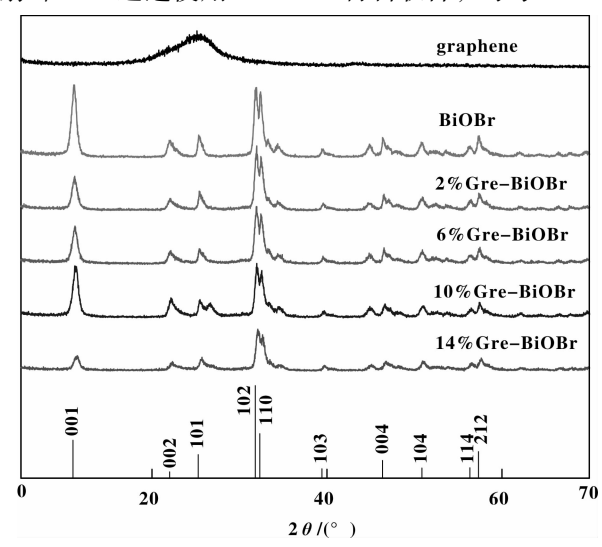
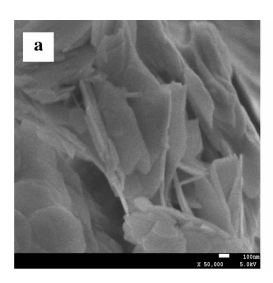


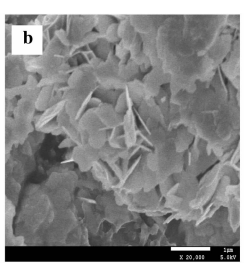
图 2 催化剂的 XRD 图 Fig. 2 XRD patterns of the catalyst

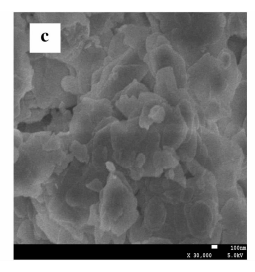
的标准卡 JCPDS: 78-0348 对应, 其晶胞参数为 a=b=0.39201 nm 和 c=0.80984 nm, 显示出 P4/nmm 的空间结构, 通过 Scherrer 公式计算得 BiOBr、2% Gre-BiOBr、6% Gre-BiOBr、10% Gre-BiOBr、14% Gre-BiOBr 的 粒 径 大 小 分 别 为 16.69、16.25、14.52、13.7、13.29 nm 18 . 比较各催化剂的衍射峰强度,可知 BiOBr 和 10% Gre-BiOBr 催化剂均具有良好的晶型和结晶度.

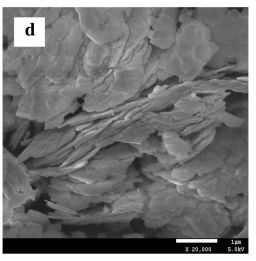
2.2 Gre-BiOBr 的 SEM 图

采用 SEM 对所得不同负载量的 Gre-BiOBr 样品的表面形貌进行表征,结果见图 3,所得形貌为大小 500~1 000 nm 不规则片状.但在 SEM 图中基本看不到石墨烯的存在,这可能是因为单层石墨烯很薄,厚度只有 0.335 nm,因而在 SEM 中很难被观测到^[19].可以看到,与 BiOBr 层厚度相比, Gre-BiOBr 层状催化剂都有一定程度变薄的趋势.









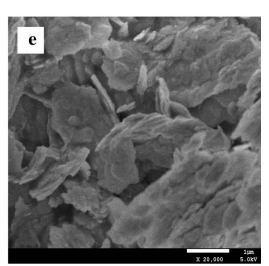


图 3 催化剂的 SEM 图

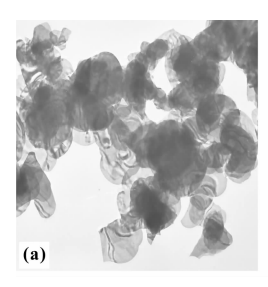
Fig. 3 SEM photo of the catalysts

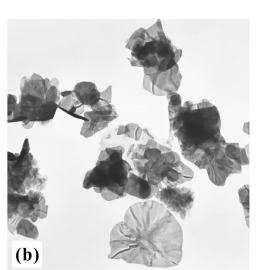
a. BiOBr, b. 2% Gre-BiOBr, c. 6% Gre-BiOBr, d. 10% Gre-BiOBr, e. 14% Gre-BiOBr

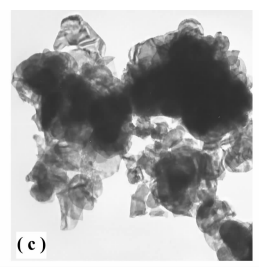
2.3 Gre-BiOBr 的 TEM 图

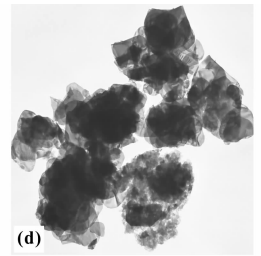
在相同放大倍数(15k)下,采用 TEM 对所得不同负载量的 Gre-BiOBr 样品的立体形貌进行表征,

结果见图 4. BiOBr 呈微米级薄层状,在其表面分散 着有石墨烯,且随着石墨烯负载量的增加,可明显 看到石墨烯絮状物的增加.









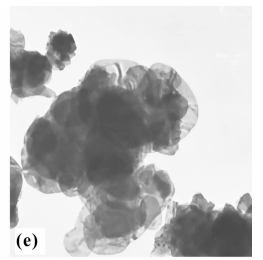


图 4 催化剂的 TEM 图

Fig. 4 TEM photo of the catalysts

a. BiOBr, b. 2%, Gre-BiOBr, c. 6% Gre-BiOBr, d. 10% Gre-BiOBr, e. 14% Gre-BiOBr

2.4 PL 分析

采用荧光光谱分析了不同负载量的 Gre-BiOBr 的电子空穴复合率大小,结果见图 5. 从图中可以看到,激发波长为 300 nm 时,不同负载量的 Gre-BiOBr 均在 470 nm 处出现较强的发射峰,且随着石墨烯负载量(2%~14%)的增加,催化剂的发射峰依次减弱,说明随着石墨烯含量的增加,催化剂的电子和空穴复合程度逐渐降低. 这表明 Gre-BiOBr 催化剂吸收可见光后,在具有高速电子迁移率的石墨烯传导作用下,催化剂表面的电子和空穴的利用

率都得到了有效提高. 理论上推测 14% Gre-BiOBr 应具有最好光催化活性, 但实验结果发现 10% Gre-BiOBr 活性最好(图 8), 这可能是因为当 BiOBr 表面存在着大量负载物石墨烯(14%)时, 反而又会阻碍催化剂对可见光的吸收作用, 使其催化活性有所降低^[20].

2.5 UV-Vis DRS 分析

制备得到的 10% Gre-BiOBr 和 BiOBr 分别为灰色和黄色(图 6),表明其对可见光具有不同程度的吸收,因而,采用紫外分光光度计对两种催化剂在

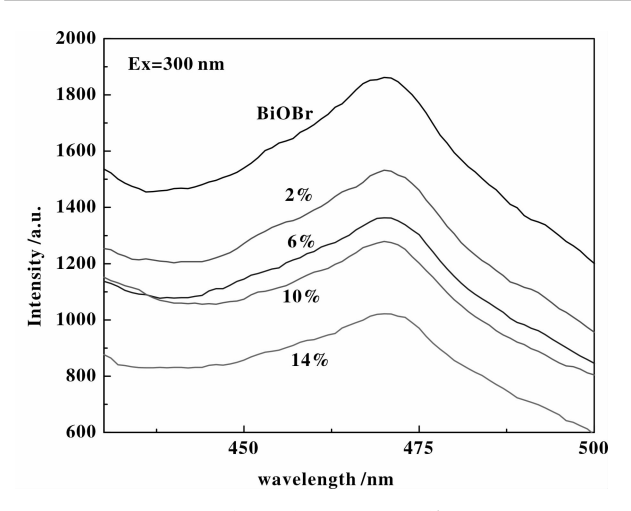


图 5 催化剂的光致发光谱

Fig. 5 Photoluminescence spectra of catalysts

200 ~ 700 nm 范围内的反射吸收光谱进行测定,如图 6. 根据公式 $\lambda g = 1$ 239. 18/Eg 计算 10% Gre-BiOBr 的禁带宽度约为 2. 61 eV, BiOBr 的禁带宽度约为 2. 75 eV,表明 BiOBr 负载石墨烯后能适当地拓宽 BiOBr 的可见光吸收范围(~0.14 eV).

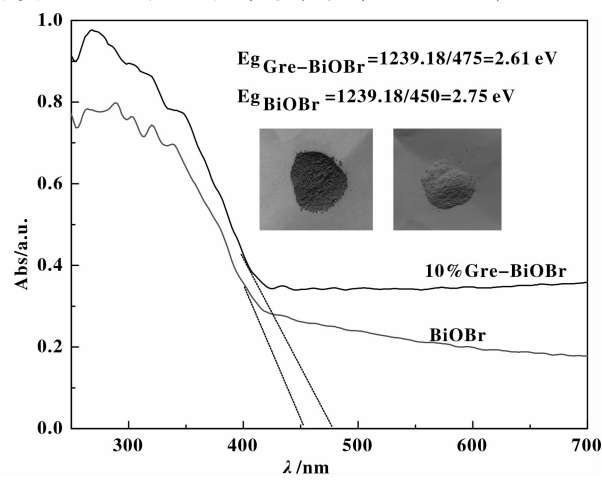


图 6 样品 UV-Vis DRS 光谱图

Fig. 6 UV-VisDRS diffuse reflectance curve of catalysts

2.6 BET 分析

BET 测试结果显示 BiOBr、10% Gre-BiOBr 的BET 值分别为 8.80 $\text{m}^2 \cdot \text{g}^{-1}$ 和 10.50 $\text{m}^2 \cdot \text{g}^{-1}$,表明石墨烯(10%)负载后能明显提高 BiOBr 的比表面积(~1.70 $\text{m}^2 \cdot \text{g}^{-1}$),从而有效的增加光催化反应位点,提高其光催化活性.

2.7 IR 光谱分析

采用 360FT 红外光分光光度计对 BiOBr、10% Gre-BiOBr 进行红外测定,结果如图 7. 由图可知,

在 BiOBr、10% Gre-BiOBr 的谱图中都能发现 500 cm⁻¹ 和 1 300 cm⁻¹ 左右吸收峰,该峰归属于 BiOBr 中 Bi—O 键的伸缩振动^[17]. 而在 10% Gre-BiOBr 的谱图中产生的新吸收峰 2 380 cm⁻¹、1 560 cm⁻¹ 和 1 100 cm⁻¹ 分别归属于累积双键(—C = C = C—)的振动、石墨烯的骨架振动^[21]、Bi—C 键的伸缩振动^[17],揭示了 Gre-BiOBr 复合物中石墨烯分子和 BiOBr 是以共价键形式存在.

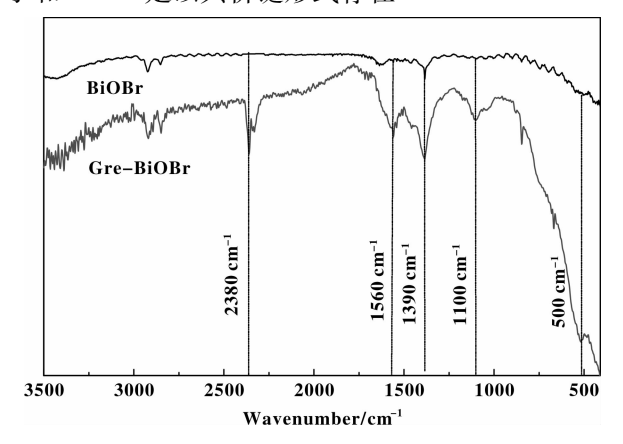


图 7 催化剂的红外光谱分析 Fig. 7 IR spectra analysis of catalyst

2.8 光催化活性研究实验过程和分析

2.8.1 不同负载量的 Gre-BiOBr 复合物对 RhB 光催化降解及动力学分析 在相同条件下,用不同量的石墨烯制备 Gre-BiOBr 复合物降解 RhB,结果如图 8 所示. 在可见光下不同负载量的催化剂都比纯BiOBr 催化降解 RhB 的活性要好,这表明石墨烯分子存在对其降解活性起着显著促进作用. 在相同条

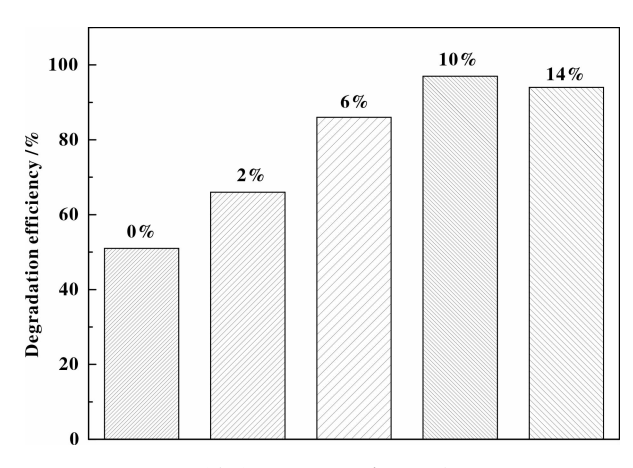


图 8 不同负载量对 RhB 降解反应的影响

Fig. 8 Degradation efficiency of RhB over Gre-BiOBr with different amounts of grapheme after 40 minutes $\frac{1}{2}$

[cata] = 0.33 mol·L⁻¹, [RhB] = 1.5×10^{-5} mol·L⁻¹, pH=6.8

件下,10% Gre-BiOBr 复合物对底物 RhB 降解速率 最快,在降解 40 min 后降解率达到 97%,认为10%为最佳负载量.

BiOBr、10% Gre-BiOBr 复合物在可见光下降解RhB的动力学曲线如图 9 所示. RhB溶液在可见光照射下光解现象不明显; BiOBr、10% Gre-BiOBr在暗反应条件下对 RhB的吸附不大,反应 30 min后基本上达到吸附平衡; 而在可见光($\lambda \ge 420$ nm)的激发下,BiOBr和 10% Gre-BiOBr均能对 RhB进行降解,BiOBr为催化剂时反应 150 min后能完全降解 RhB溶液,而 10% Gre-BiOBr在光照条件下,反应 60 min后已完全降解了 RhB溶液。由此看出,光照和催化剂是 RhB发生降解反应所必须的因素,且 10% Gre-BiOBr的可见光催化活性要高于 BiOBr,光降解 RhB反应速率 [22] ($k_{BiOBr} = 0.020 \text{ min}^{-1}$)约为纯 BiOBr ($k_{10\% Gre-BiOBr} = 0.046 \text{ min}^{-1}$)的两倍。测定了 10% Gre-BiOBr/RhB/Vis、BiOBr/RhB/Vis体系在不同反应时间的吸收光谱的变化(图10),随着降

解反应的进行, RhB 的特征吸收峰(λ=554 nm)不断降低,并出现蓝移,表明 RhB 的共轭体系随光照时间的延长被逐渐降解.反应一定时间后, RhB 在可见光区的吸收已完全消失,脱色率达到 100%.

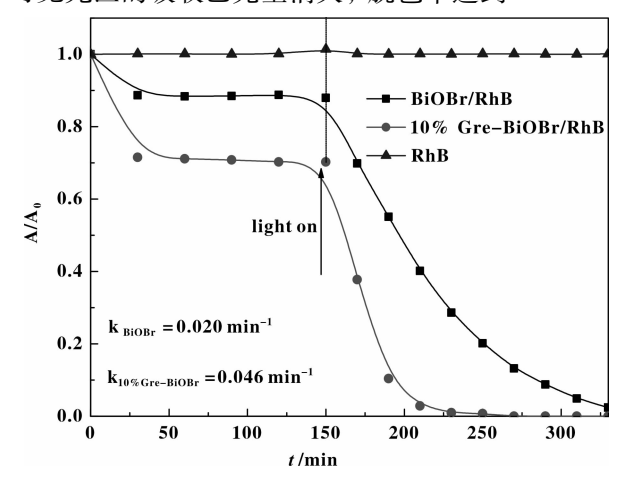
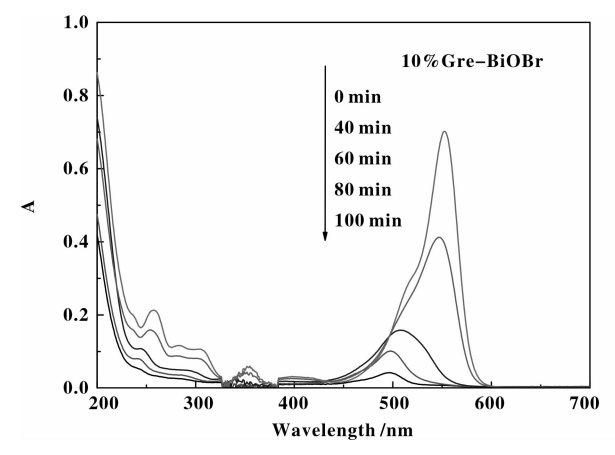


图 9 不同条件下对 RhB 的光催化降解曲线 Fig. 9 Degradation curves of RhB in different conditions [cata] = 0.33 mol·L⁻¹, [RhB] = 1.5×10⁻⁵mol·L⁻¹, pH=6.8



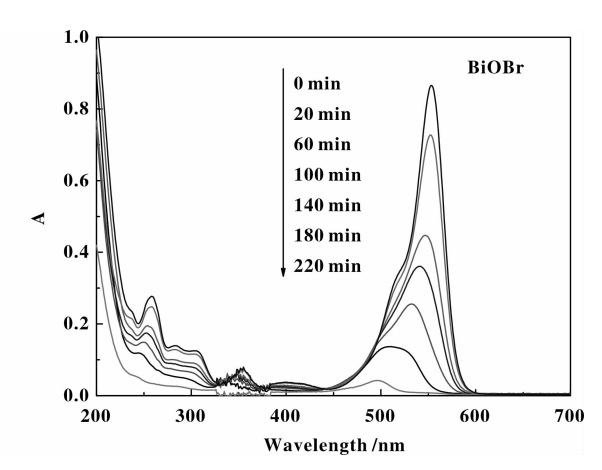


图 10 光催化降解 RhB 吸收光谱的变化 Fig. 10 UV-Vis spectra changes of RhB [cata]=0.33 mol·L⁻¹, [RhB]=1.5×10⁻⁵mol·L⁻¹, pH=6.8

2.8.2 不同 pH 条件下 10% Gre-BiOBr 对 RhB 光催化降解 实验讨论了溶液 pH 对 10% Gre-BiOBr 催化降解 RhB 反应的影响. 图 11 表示的是 RhB 的降解率达到 100% 后,降解反应在不同 pH 条件下的降解速率. 随着 pH 的减小,降解速率逐渐增大,在 pH = 3 时,反应的降解速率达到最大. 据文献报道制备的 BiOBr 催化剂的 pH_{zata} 值为 5.4^[4],当溶液的 pH<5.4 时 BiOBr 表面带正电,会与 RhB 阳离子型染料相互排斥,而在底物初始浓度相同,催化

剂达到吸附平衡时,实验结果(表1)显示,pH=3~9 时催化剂对 RhB 的吸附量均较大(19.7%~24.1%),表明催化剂对 RhB 的吸附可能是发生了氢键或配位键等作用的专属吸附为主,与 pH 关系不大. 此外,在酸性条件下,随着溶液中 H^+ 浓度的增大,会加速反应 O_2^- + e + $2H^+$ \rightarrow H_2O_2 的进行^[6],在该光催化体系中超氧 O_2^- 起到主要的作用(见图 12),使得催化剂对 RhB 的降解速率加快,因而在 pH=3 时降解速率达到最大.

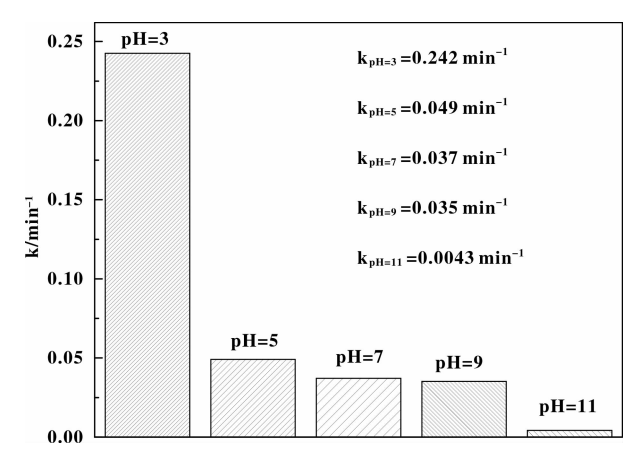


图 11 溶液 pH 对 RhB 降解反应的影响 Fig. 11 Degradation curves of RhB in different pH $[\ RhB] = 1.5 \times 10^{.5} \ mol \cdot L^{-1} \, , \ [\ Gre-BiOBr] = 0.33 \ g \cdot L^{-1}$

表 1 不同 pH 条件催化剂对 RhB 的吸附率
Table 1 The adsorption rate for RhB of the photocatalyst
in different pH conditions

рН	Adsorption rate $[(C_0-C_t)/C_0] \times 100\%$
3	35.3%
5	28.6%
7	19.7%
9	24.1%
11	8.0%

2.9 自由基捕获实验

为了验证反应体系中哪一种自由基对于降解反 应起主要作用,分别以异丙醇(IPA)为·OH 捕获 剂, 苯醌(BQ)为 O₂ · · 捕获剂, EDTA 为空穴(h⁺) 捕获剂进行实验. 首先对 EDTA、BQ 做了不同浓度 梯度对 10% Gre-BiOBr 复合物光催化降解 RhB 的 影响,发现随着捕获剂的浓度增加,光催化降解反 应速率逐渐降低. 后选定[IPA] = 5 mmol· L^{-1} 、 $[BQ] = 0.33 \text{ mmol} \cdot L^{-1}$, $[EDTA] = 0.33 \text{ mmol} \cdot L^{-1}$ 的浓度进行光催化降解,分别以 $ln(C_0/C_\iota)$ 对反应 时间 t 进行拟合求得动力学常数 $k^{[22]}$, 得到 k_{blank} = 0.0511 min^{-1} , $k_{IPA} = 0.0321 \text{ min}^{-1}$, $k_{EDTA} = 0.0261$ \min^{-1} 、 k_{BO} = 0.0056 \min^{-1} ,结果见图 12. 从图可见 加入异丙醇、EDTA 和苯醌后催化剂降解速率均变 慢,其中对降解的抑制程度分别为苯醌>EDTA>异 丙醇,从而证明在该光催化氧化降解反应体系中起 主要作用的是超氧 O_2 · · 和 h^+ .

2.10 RhB 的降解和深度氧化矿化

图 13 为在可见光照射下 10% Gre-BiOBr 光催

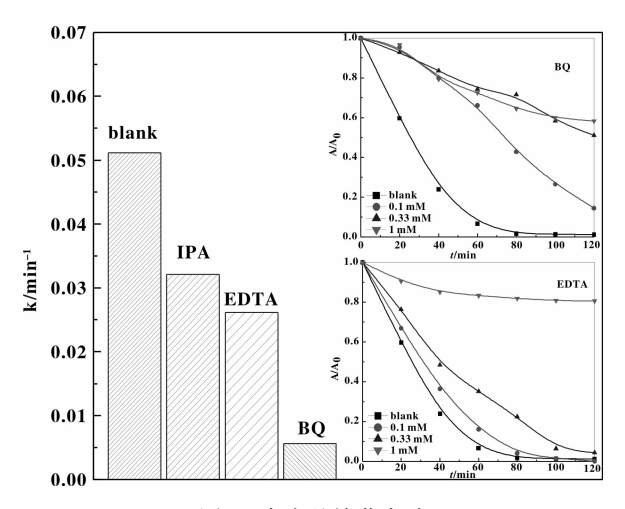


图 12 自由基捕获实验

Fig. 12 scavenging experiment of free radical $\begin{array}{c} [\,RhB\,] = 1.5 \times 10^{-5} \; mol \; \cdot \; L^{-1} \; , \; [\,Gre\text{-BiOBr}\,] \; = \\ 0.33 \; g \; \cdot \; L^{-1} \; , \; pH = 6.8 \\ \\ [\,IPA\,] = 5m \; mol \; \cdot \; L^{-1} \; , \; [\,BQ\,] = 0.33 \; mmol \; \cdot \; L^{-1} \; , \\ \\ [\,EDTA\,] = 0.33 \; mmol \; \cdot \; L^{-1} \end{array}$

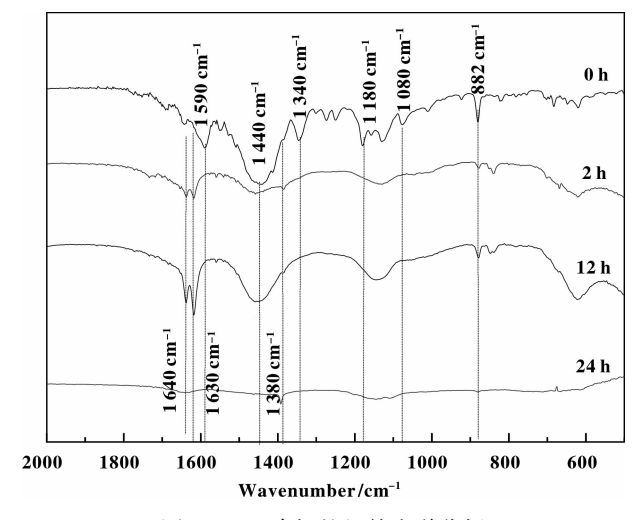


图 13 RhB 降解的红外光谱分析
Fig. 13 IR spectra analysis of RhB during degradation
[RhB]=1.5×10⁻⁵ mol·L⁻¹, [Gre-BiOBr]=
0.33 g·L⁻¹, pH=6.8

化降解 RhB 在不同反应时间下 RhB 溶液的红外光谱变化. RhB 的特征吸收表征为: 1590 和885 cm⁻¹ 分别对应 RhB 芳环的骨架振动及苯环平面弯曲振动峰; 1340 cm⁻¹、1180 cm⁻¹可分别归属于 C-CH₃和 Ar-N 伸缩振动峰, 1440 和1080 cm⁻¹可分别归属于苯环(-C = C-)和醚键(-C-O-C-)的伸缩振动(反应 0h). 随着光催化反应的进行,可知: 1590 cm⁻¹、1340 cm⁻¹、1180 cm⁻¹、1080 cm⁻¹的峰消失,说明在光催化氧化过程中 RhB 骨架分子被

逐步破坏,而在 1 640 和 1 630 cm⁻¹ 产生了一个双峰,推测可能生成了酰胺类化合物中羰基(0 = C—N)伸缩振动峰,在 1 380 cm⁻¹ 出现的新峰可能为伯胺类化合物中(C—NH₂)伸缩振动峰^[23],这说明在可见光下 10% Gre-BiOBr 对 RhB 不单是一个简单的脱色过程,而且也是一个深度氧化过程。由 TOC(图 14)数据分析可知,在反应 25 h 后,10% Gre-BiOBr 对 RhB 矿化率为 50.1%,比单纯的BiOBr 对 RhB 矿化率要高.

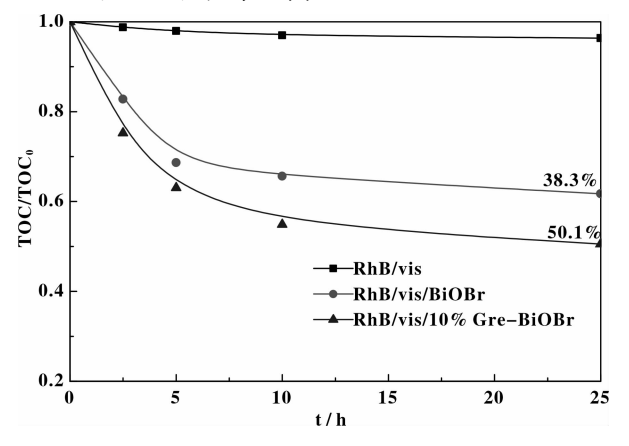
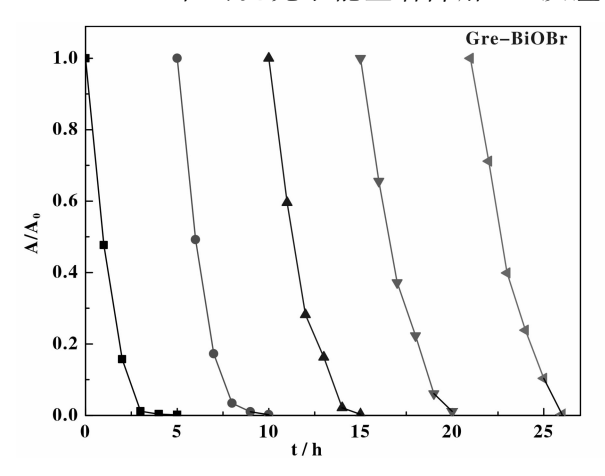


图 14 RhB 降解的 TOC 变化 Fig. 14 The TOC removal of RhB

[RhB] = 5×10^5 mol · L⁻¹, [Gre-BiOBr] = 1g · L⁻¹, pH = 6.8

2.11 催化剂对 SA 的降解

SA 是一种无色的小分子污染物,本身对可见 光没有吸收.可见光(λ≥420 nm)照射下,测定降 解过程中水杨酸浓度的变化,结果见图 15. 在控制 相同温度条件下,SA 不发生光解,而 BiOBr 和 10% Gre-BiOBr在可见光下能显著降解SA.反应



20 h 后, BiOBr 和 10% Gre-BiOBr 对水杨酸的降解率分别为 70.82% 和 85.68%, 表明 10% Gre-BiOBr 在可见光激发下能有效降解小分子污染物, 其催化能力大于 BiOBr.

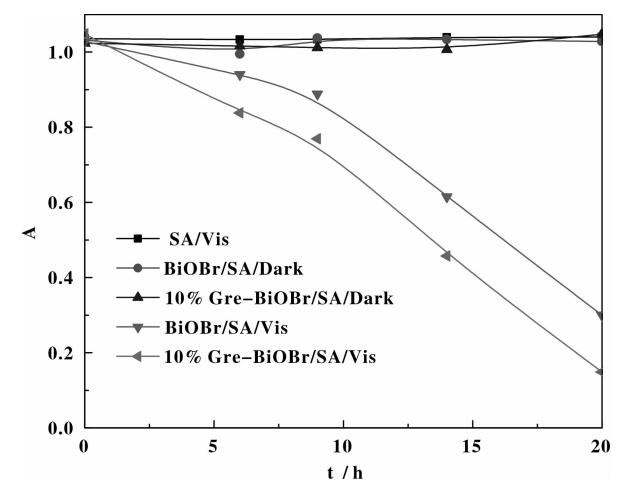


图 15 光催化降解 SA 的动力学曲线

Fig. 15 Kinetic curves for degradation of SA under visble light [Gre-BiOBr] = $0.4 \text{ g} \cdot \text{L}^{-1}$, [SA] = $3 \times 10^{-4} \text{ mol} \cdot \text{L}^{-1}$

2.12 循环反应实验

催化剂是否稳定是衡量其研究价值的重要指标,为了验证其稳定性,进行了光催化降解 RhB 的循环实验,每个循环反应结束之后加入同等量的 RhB 溶液定容到同样体积,吸附平衡后进行下一轮的循环反应. 图 16 是 BiOBr 和 10% Gre-BiOBr 催化循环实验结果图,催化剂循环使用 5 次,仍保持着良好的光催化活性,表明负载后 10% Gre-BiOBr 稳定性较好,具有研究价值.

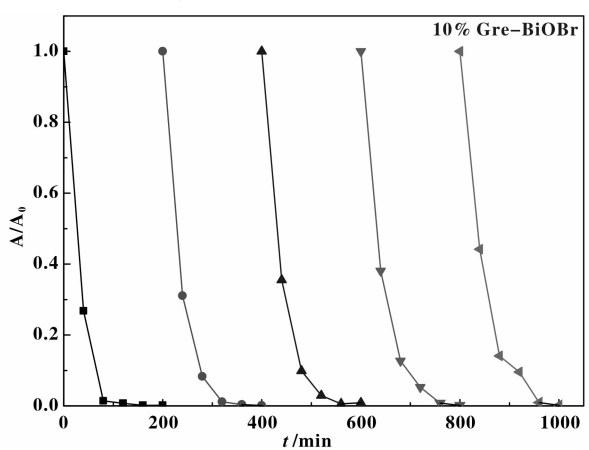


图 16 催化反应循环图

Fig. 16 Catalytic recycling in repetitive degradation of RhB $\lceil \text{cata} \rceil = 0.33 \text{ g} \cdot \text{L}^{-1}$, $\lceil \text{RhB} \rceil = 1.5 \times 10^{-5} \text{ mol} \cdot \text{L}^{-1}$, pH=6.8

3 结论

采用超声-水热法制备了不同负载量的 Gre-BiOBr 复合物,并探讨了石墨烯对其表面特性及可见光活性的影响.实验发现 10% Gre-BiOBr 催化剂(质量比)具有最佳可见光催化活性,这是因为在BiOBr 表面负载的具有优异导电性的石墨烯,能有效地促进 BiOBr 表面电子和空穴分离,并一定程度上增大了其比表面积,从而能显著地提高了催化剂对可见光的利用率.

参考文献:

- [1] Hoffmann M R, Martin S T, Choi W Y, et al. Environmental applications of semiconductor photocatalysis [J].
 Chem Rev, 1995, 95: 69-96.
- [2] Zhang Kun(张坤). Master's dissertion of Shanghai Normal University(上海师范大学硕士论文)[D]. 2012.
- [3] Lei Y, Wang G, Guo P, et al. The Ag-BiOBr_xI_{1-x} composite photocatalyst: Preparation, characterization and their novel pollutants removal property[J]. Appl Surf Sci, 2013, 279: 374-379.
- [4] Fang Y F, Huang Y P, Yang J, et al. The unique ability of BiOBr to decarboxylate D-Glu and D-MeAsp in the photocatalytic degradation of Microcystin-LR in water [J]. Environmental Science & Technology, 2011, 45 (4): 1593-1600.
- [5] Wang S L, Ma W H, Fang Y F, et al. Bismuth oxybromide promoted detoxification of cylindrospermopsin under UV and visible light illumination[J]. Appl Catal B: Envir, 2014, 150/151: 380-388.
- [6] Fang Y F, Huang Y P, Ma W H, et al. Exploring the reactivity of multicomponent photocatalysts: insight into the complex valence band of BiOBr [J]. Chem - A Euro J, 2013, 19(9): 3224-3229.
- [7] Geim A, Novoselov K. The rise of graphene [J]. Nat Mater, 2007, 6: 183-191.
- [8] Schadler L S, Giannaris S C, Ajayan P M. Load transfer in carbon nanotube epoxy composites [J]. Appl Phys Lett, 1998, 73; 3842-3844.
- [9] Zhang Y, Tan Y W, Stormer H L, et al. Experimental observation of the quantum Hall effect and Berry's phase in graphene [J]. Nature, 2005, 438 (7065); 201-204.
- [10] Novoselov K S, Jiang D, Schedin F, et al. Two-dimensional atomic crystals [J]. Proceed Nati Acade Sci Unit Sta Amer, 2005, 102(30): 10451-10453.

- [11] Jiang G, Lin Z, Chen C, et al. TiO₂ nanoparticles assembled on graphene oxide nanosheets with high photocatalytic activity for removal of pollutants [J]. Carbon, 2011, 49(8): 2693-2701.
- [12] Xu T, Zhang L, Cheng H, et al. Significantly enhanced photocatalytic performance of ZnO via graphene hybridization and the mechanism study[J]. Appl Catal B: Enviro, 2011, 101(3): 382-387.
- [13] Xiang Q, Yu J, Jaroniec M. Preparation and enhanced visible-light photocatalytic H₂-production activity of graphene/C₃N₄ composites[J]. J Phys Chem C, 2011, 115 (15): 7355-7363.
- [14] Gao E, Wang W, Shang M, et al. Synthesis and enhanced photocatalytic performance of graphene-Bi₂WO₆ composite[J]. Phys Chem Chemi Phys, 2011, 13(7): 2887-2893.
- [15] Fang Yan-fen(方艳芬), Cheng Gen-wei(程根伟), Lu Xu-yang(鲁旭阳), et al. CN[P](中国专利) 101786606A, 2010.
- [16] Hummers S, Offeman R. Preparation of graphitic oxide
 [J]. Journal of The American Chemical Society, 1958,
 80(6): 1339-1339.
- [17] Tu X, Luo S, Chen G, et al. One-pot synthesis, characterization, and enhanced photocatalytic activity of a BiO-Br-Graphene composite [J]. Chem-A Europ J, 2012, 18 (45): 14359-14366.
- [18] Li Xin-yu(李新玉), Fang Yan-fen(方艳芬), Xiong Shi-wei(熊世威), et al. Preparation of Fe dopped BiO-Br using different bromine source and visible-light photocatalytic activity (不同溴源制备铁掺杂 BiOBr 及其可见光光催化活性研究)[J]. J Mol Catal(China)(分子催化), 2013, 27(6): 575-584.
- [19] Li Xu(李 旭), Zhao Wei-feng(赵卫峰), Chen Guo-hua(陈国华). Research progress in preparation and characterization of graphenes (石墨烯的制备与表征研究)[J]. *Mater Rev*(材料导报), 2008, **22**(8): 48-52.
- [20] Zhang X, Chang X, Gondal M A, et al. Synthesis and photocatalytic activity of graphene/BiOBr composites under visible light [J]. Appl Surf Sci, 2012, 258(20): 7826-7832.
- [21] Nethravathi C, Rajamathi M. Chemically modified graphene sheets produced by the solvothermal reduction of colloidal dispersions of graphite oxide [J]. Carbon, 2008, 46(14): 1994-1998.
- [22] Hu Jin-shan(胡金山), Wang Huan(王 欢), Liu Li(刘 利), et al. Preparation of highly efficient Ag@ AgBr

- plasmonic photocatalyst and its photocatalytic performance under visible light (高效 Ag@ AgBr 等离子体光催 化剂的制备及可见光活性研究)[J]. *J Mol Catal* (*China*) (分子催化), 2013, **27**(5): 452-458.
- [23] Deng AP, Huang YP, Fang YF, et al. TiO₂ nanotubes preparation and photocatalytic degradation of organic pollutants. (TiO₂ 纳米管的制备及其光催化降解有机污染物[J]. Envir Chem (环境化学), 2009, **28**(2): 202-205.
- [24] Wang L L, Ma W H, Huang Y P, et al. The contrastive research in the photocatalytic activity of BiOBr synthetized by different reactants [J]. J Nanomater, 2012, 2012: 1-9.
- [25] Li Xin-yu(李新玉), Fang Yan-fen(方艳芬), Xiong Shi-wei(熊世威), et al. Preparation of bismuth molyb-

- date composite and improved photocatalytic activity under visible-light irradiation(钼酸铋光催化剂的制备及其光催化活性)[J]. *Envir Chem* (环境化学), 2013, **32** (009): 1611-1618.
- [26] Deng An-ping(邓安平), Yang Jing(杨 静), Wang Shu-lian(汪淑廉), et al. Preparation of mixed crystal TiO₂ nanoparticles and photocatalytic degradation of toxic organic pollutants(混晶纳米 TiO₂ 的制备及其光催化降解有毒有机污染物)[J]. Envir Sci (环境科学), 2010, **31**(012); 2965-2972.
- [27] An Wei-jia(安伟佳), Cui Wen-quan(崔文权), Liu Li (刘利), et al. 卤氧化铋光催化剂的复合改性[J]. J Mol Catal(China)(分子催化), 2013, **27**(5): 483-492.

Preparation of Graphene-BiOBr Composite and the Enhanced Photocatalytic Activity under Visible-light Irradiation

ZHOU Wei, HU Xiao-long, ZHAO Xiao-rong, JIA Man-ke, HUANG Ying-ping, FANG Yan-fen*

- (1. Collaborative Innovation Center for Geo-Hazards and Eco-Environment in Three Gorges Area, Yichang 443002, China;
- 2. Engineering Research Center of Eco-environment in Three Gorges Reservoir Region, Ministry of Education, China Three Gorges University, Yichang 443002, China)

Abstract: Graphene-bismuth oxybromide (Gre-BiOBr) composites with different amounts of graphene loading on BiOBr were prepared by ultrasound-hydrothermal method, named BiOBr, 2% Gre-BiOBr, 6% Gre-BiOBr, 10% Gre-BiOBr and 14% Gre-BiOBr, respectively. The materials were characterized by X-ray diffraction (XRD), scanning electron microscopy (SEM), transmission electron microscopy (TEM), ultraviolet-visible diffuse reflectance spectroscopy (UV-Vis DRS), fluorotrophotometer (PL) and Brunauer-Emmett- Teller (BET). The results showed that the as-prepared catalysts were the diagonal square crystal shape (JCPDS card no: 78-0348), and the sheet of them were about 500 ~ 1 000 nm sheets. Compared with pure BiOBr, the photocatalytic activity of Gre-BiOBr was significantly improved on the degradation of Rhodamine B (RhB) and Salicylicacid (SA) under visible light irradiation ($\lambda \ge 420$ nm). The 10% Gre-BiOBr catalyst showed the best photocatalytic activity and the degradation rate of RhB ($k_{10\% Gre-BiOBr} = 0.046 \text{ min}^{-1}$) was twice than that of pure BiOBr ($k_{BiOBr} = 0.020 \text{ min}^{-1}$). The specific surface area and the band gap (Eg) of 10% Gre-BiOBr catalyst were 10.50 m² · g⁻¹ and 2.61 eV (~475 nm). Based on the free radicals captured experiments, the catalytic mechanism was mainly related to the common oxidation of the super oxygen radical (O_2 · ·) and holes (O_2 · ·). The photocatalytic activity of 10% Gre-BiOBr was excellent in the recycle-usage for five times, so it had good stability.

Key words: Gre-BiOBr composite; recombination; photocatalysis